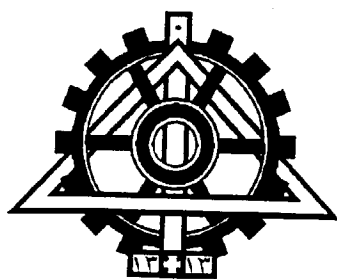
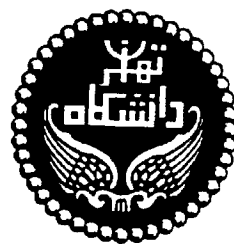


٢٢



دانشگاه تهران



بررسی تأثیر عوامل مهم بر ریزساختار و خواص
آهنرباهاي سراميکي ناهمسانگرد

۱۳۷۹ / ۲ / ۱۰

توسط:

علی نجفی



اساتيد راهنما:

دكتر ابوالقاسم عطائي

دكتر سعيد حشمتى منش

پایان نامه جهت دریافت درجه کارشناسی ارشد

در

۸۱۶۱

رشته مهندسي مواد و متالورژي

گرایش:

شناسائی و انتخاب مواد

دانشکده فنی

تابستان سال ۱۳۷۹

۳۰۸۲۲

دانشگاه تهران

دانشکده فنی

پایان نامه

برای دریافت درجه کارشناسی ارشد

رشته: مهندسی مواد و متالورژی

گرایش: شناسائی و انتخاب مواد

موضوع:

بررسی تأثیر عوامل مهم بر ریزساختار و خواص

آهنرباهاي سراميكي ناهمسانگرد

توسط:

علی نجفی

از این پایان نامه در تاریخ ۷۹/۵/۲۳ در مقابل هیئت داوران دفاع گردید و مورد تصویب قرار گرفت.

سرپرست تحصیلات تکمیلی دانشکده فنی: دکتر بنی‌هاشمی

مدیر گروه آموزشی: دکتر ایوب حلوائی حیدری

سرپرست کمیته تحصیلات تکمیلی گروه: دکتر حمیدرضا قاسمی منفرد

اساتید راهنمای: دکتر ابوالقاسم عطائی منذری

دکتر سعید حشمتی منش

استاد مشاور: دکتر علی محمد هادیان

استاد مدعو: دکتر سید علی سید ابراهیمی



تقدیم به

پدر و مادر بزرگوارم

بررسی تأثیر عوامل مهم بر ریزساختار و خواص آهنرباهای سرامیکی ناهمسانگرد

نام و نام خانوادگی: علی نجفی
رشته: شناسائی و انتخاب مواد
گروه: مهندسی مواد و متالورژی
اساتید راهنمای: دکتر ابوالقاسم عطائی
دکتر سعید حشمتی منش

تاریخ دفاع: ۷۹/۵/۲۳

چکیده

در این تحقیق پودر مغناطیسی هگزافریت باریم ($\text{BaFe}_{12}\text{O}_{19}$) به روش مرسوم از مواد اولیه داخلی تهیه و سپس تحت شرایط مختلف آسیاگردید. نتایج حاصل از خردایش نشان می‌دهد که نرخ کاهش اندازه ذرات در آسیای گلوله‌ای خشک (Ball Mill) بیشتر از آسیای افقی تر (Wet Jar Mill) می‌باشد. ولی امکان ورود ناخالصی در آسیای گلوله‌ای خشک بیشتر است. نتایج مطالعات انجام شده بر روی نمونه‌های تف‌جوشی شده حاکی از آنست که چگالی نهائی و ریزساختار نمونه‌ها تابعی از فشار پرس و غلظت دوغاب می‌باشد. بررسیها نشان می‌دهد که مقدار بهینه آب در دوغاب حدود ۴۰ درصد وزنی و فشار بهینه پرس حدود ۲۰۰ MPa می‌باشد. براساس نتایج حاصل از بررسی تأثیر مواد افزودنی، افزایش SiO_2 باعث افزایش چگالی نهائی می‌شود در حالیکه افزایش Al_2O_3 چگالی را به مقدار جزئی کاهش می‌دهد. همچنین، SiO_2 بعنوان ماده افزودنی در کنترل رشد دانه‌ها مؤثرتر از Al_2O_3 می‌باشد. بررسی تأثیر دما و زمان تف‌جوشی بر چگالی و ریزساختار نمونه‌ها نشان می‌دهد که در دمای 1150°C با افزایش زمان تف‌جوشی، رشد دانه‌ها چشمگیر نیست در حالیکه چگالی نهائی بطور قابل ملاحظه‌ای افزایش می‌یابد. ولی تف‌جوشی در دمای 1200°C بمدت بیش از یک ساعت، ضمن افزایش چگالی، باعث رشد شدید دانه‌ها نیز می‌شود. تف‌جوشی در دمای بالاتر از 1200°C حتی در یک ساعت نیز رشد چشمگیر دانه‌ها را در پی دارد.

تشکر و قدردانی

در ابتدای این گزارش لازم می‌دانم از خدمات بیدریغ اساتید عزیز جناب آقای دکتر ابوالقاسم عطایی و جناب آقای دکتر سعید حشمتی منش که در انجام این پژوهش همواره از راهنمایی‌های ارزشمند ایشان بپره‌مند شده‌ام سپاسگزاری نمایم. همچنین از استاد گرانقدر جناب آقای دکتر علی محمد هادیان که مسئولیت مشاوره این پژوهه را بر عهده داشتند قدردانی می‌نمایم. از اساتید گرامی آقایان دکتر سید علی سید ابراهیمی و دکتر حمیدرضا قاسمی منفرد که زحمت بازخوانی پژوهه را متقبل شده‌اند، کمال تشکر را دارم و نیز از آقایان مهندس ثابت مرزووقی و مهندس بختیاری و تمام عزیزانی که در انجام این پژوهش صمیمانه یاریم نمودند سپاسگزارم.

همچنین از مسئولین محترم دانشکده مواد و متالورژی دانشگاه بیرمنگام انگلستان بخاطر مساعدت‌هایی که در انجام آزمایش‌های اندازه‌گیری خواص مغناطیسی داشتند، تشکر و قدردانی می‌نمایم.

فهرست مطالب

صفحه	عنوان
۱	فصل اول : مقدمه.....
۴	فصل دوم : مروری بر منابع.....
۴	۴-۱) مروری بر خواص مغناطیسی مواد.....
۴	۴-۱-۱) پارامترهای مغناطیسی.....
۷	۴-۱-۲) واحدهای مغناطیسی.....
۷	۴-۱-۳) حلقه پسماند مواد مغناطیسی.....
۷	۴-۱-۴) ناهمسانگردی مغناطیسی.....
۹	۴-۱-۴-۱) ناهمسانگردی کریستالی.....
۱۰	۴-۱-۴-۲) ناهمسانگردی شکلی.....
۱۰	۴-۱-۴-۳) ناهمسانگردی تنشی.....
۱۱	۴-۱-۴-۵) حوزه های مغناطیسی
۱۲	۴-۱-۵-۱) دیواره حوزه ها
۱۲	۴-۱-۵-۲) ضخامت دیواره حوزه ها.....
۱۲	۴-۱-۵-۳) حرکت دیواره حوزه ها
۱۳	۴-۱-۵-۴) ذرات تک حوزه
۱۴	۴-۱-۶) مکانیزمهای نیروی وادارندگی مغناطیسی
۱۵	۴-۱-۷) تقسیم بندی مواد از لحاظ خاصیت مغناطیسی
۱۹	۴-۱-۸) مواد مغناطیسی سخت و نرم
۲۲	۴-۲-) سرامیکهای مغناطیسی (فریتها)
۲۴	۴-۲-۱) ساختار کریستالی
۲۴	۴-۲-۲) مغناطش اشباع

صفحه	عنوان
۲۶	۳-۲-۲) ناهمسانگردی کریستالی.....
۲۷	۴-۲-۲) نیروی و ادارنده‌گی مغناطیسی.....
۲۸	۵-۲-۲) خواص فیزیکی و شیمیائی.....
۲۹	۳-۲) فرآوری آهنرباهای سرامیکی.....
۲۹	۱-۳-۲) تهیه پودر هگزافریتها.....
۲۹	۱-۱-۳-۲) روش مرسوم تهیه پودر هگزافریتها.....
۳۰	۱-۱-۱-۳-۲) انتخاب مواد اولیه.....
۳۱	۲-۱-۱-۳-۲) نسبت مولی اجزاء.....
۳۱	۳-۱-۱-۳-۲) مخلوط‌سازی پودرها.....
۳۱	۴-۱-۱-۳-۲) کلسینه کردن.....
۳۳	۵-۱-۱-۳-۲) آسیا کردن.....
۳۶	۲-۱-۱-۳-۲) روشهای غیر مرسوم تهیه پودر هگزافریتها.....
۳۷	۲-۳-۲) روشهای تهیه قطعه مغناطیسی.....
۳۷	۱-۲-۳-۲) روش مرسوم تهیه قطعه مغناطیسی.....
۳۷	۱-۱-۲-۳-۲) فشرده کردن پودر.....
۴۲	۲-۱-۲-۳-۲) تفجوشی.....
۴۳	۱-۲-۱-۲-۳-۲) تفجوشی در حضور فاز مذاب.....
۴۸	۲-۲-۱-۲-۳-۲) ترکیب شیمیائی و افزودنیها.....
۵۵	۳-۲-۱-۲-۳-۲) دمای تفجوشی.....
۵۸	۴-۲-۱-۲-۳-۲) زمان تفجوشی.....
۵۹	۵-۲-۱-۲-۳-۲) سرعت گرم و سرد کردن.....
۶۱	۶-۲-۱-۲-۳-۲) اتمسفر تفجوشی.....
۶۱	۷-۲-۱-۲-۳-۲) انقباض و چگالی.....

صفحه	عنوان
۶۱	۲-۲-۳-۲) روش‌های غیرمرسوم شکل دهی هگزافریتها
۶۱	۱-۲-۲-۳-۲) روش پرس گرم
۶۲	۲-۲-۲-۳-۲) روش نوردواکستروزن
۶۲	۳-۲-۲-۳-۲) روش تک تف جوشی کردن
۶۲	۴-۲-۲-۳-۲) روش تف جوشی با استفاده از امواج مایکروویو
۶۲	۳-۲-۳-۲) سنگ‌زنی و آهنرباکردن فریتهای سخت
۶۴	فصل سوم: روش تحقیق و تجهیزات مورد استفاده
۶۵	۱-۳) تهیه پودره‌هگزافریتها
۶۶	۲-۳) آسیا کردن
۶۸	۳-۳) تهیه دوغاب فریتی
۶۹	۴-۳) پرس کردن تحت میدان مغناطیسی
۷۴	۵-۳) تف جوشی
۷۶	۳-۶) آماده‌سازی نمونه‌ها و متالوگرافی
۷۶	۷-۳) دیفراکتومتر اشعه ایکس
۷۷	۳-۸) اندازه‌گیری خواص مغناطیسی
۷۸	۷-۸) فصل چهارم: نتایج و بحث
۷۸	۱-۴) تهیه پودر هگزافریت باریم
۸۷	۲-۴) تأثیر فشار پرس بر چگالی هگزافریت باریم
۸۹	۳-۴) تأثیر غلظت دوغاب بر چگالی و درجه همراستائی
۹۴	۴-۴) تأثیر مواد افزودنی بر ریزاساختار و چگالی نمونه‌ها
۹۴	۱-۴-۴) بررسی تأثیر SiO_2
۱۰۰	۲-۴-۴) بررسی تأثیر Al_2O_3
۱۰۳	۳-۴-۴) بررسی تأثیر ترکیب مواد افزودنی

صفحه	عنوان
۱۰۶	(۴-۴-۴) مقایسه نمونه‌های حاوی مواد افزودنی مختلف
۱۰۹	(۵-۴) تأثیر دما و زمان تف جوشی
۱۰۹	(۱-۵-۴) بررسی تأثیر دمای تف جوشی
۱۲۳	(۲-۵-۴) بررسی تأثیر زمان تف جوشی
۱۴۳	(۶-۴) درجه همراستائی نمونه‌های تف جوشی شده
۱۴۰	فصل پنجم: نتیجه‌گیری و پیشنهادات
۱۴۸	منابع
۱۵۳	ضمائم

فهرست جداول

صفحه	عنوان
۸	جدول (۱-۲) ارتباط بین واحدهای mks و cgs جدول (۲-۲) تقسیم بندی مواد براساس خواص مغناطیسی
۱۸	جدول (۳-۱) ترکیب شیمیائی اکسید آهن مورد استفاده در این تحقیق.....
۶۶	جدول (۴-۱) تأثیر نوع آسیا و زمان آسیا کردن بر متوسط اندازه ذرات هگزافریت باریم
۸۱	جدول (۴-۲) چگالی نهائی نمونه های هگزافریت باریم که تحت فشارهای مختلف پرس و سپس در
۸۸	دماهای 1200°C و اتمسفر هوا به مدت نیم ساعت تف جوشی شده اند
۹۱	جدول (۳-۴) درصد وزنی آب و چگالی نهائی نمونه های هگزافریت باریم که تحت فشار 200 MPa پرس و در دماهای 1200°C و اتمسفر هوا به مدت چهار ساعت تف جوشی شده اند
۹۵	جدول (۴-۴) چگالی نهائی و متوسط اندازه ذرات نمونه های هگزافریت باریم حاوی مقادیر مختلف SiO_2 که در دماهای 1150°C و اتمسفر هوا به مدت دو ساعت تف جوشی شده اند
۱۰۰	جدول (۵-۴) چگالی نهائی و متوسط اندازه ذرات نمونه های هگزافریت باریم حاوی مقادیر مختلف Al_2O_3 که در دماهای 1150°C و اتمسفر هوا به مدت دو ساعت تف جوشی شده اند
۱۰۳	جدول (۴-۶) چگالی و متوسط اندازه دانه های نمونه های هگزافریت باریم ناهمسانگرد حاوی ترکیب مواد افزودنی SiO_2 و Al_2O_3 که در دماهای 1150°C به مدت دو ساعت تف جوشی شده اند
۱۱۰	جدول (۷-۴) چگالی نهائی نمونه های هگزافریت باریم ناهمسانگرد حاوی مواد افزودنی Al_2O_3 ، SiO_2 و ترکیب آنها که در دماهای مختلف به مدت یک ساعت تف جوشی شده اند
۱۱۰	جدول (۸-۴) چگالی نهائی نمونه های هگزافریت باریم ناهمسانگرد حاوی مواد افزودنی Al_2O_3 ، SiO_2 و ترکیب آنها که در دماهای مختلف به مدت دو ساعت تف جوشی شده اند
۱۱۰	جدول (۹-۴) چگالی نهائی نمونه های هگزافریت باریم ناهمسانگرد حاوی مواد افزودنی Al_2O_3 ، SiO_2 و ترکیب آنها که در دماهای مختلف به مدت سه ساعت تف جوشی شده اند
۱۲۱	جدول (۱۰-۴) خواص مغناطیسی نمونه های هگزافریت باریم حاوی یک درصد وزنی SiO_2 که به مدت یک ساعت در دماهای مختلف تف جوشی شده اند

صفحه

عنوان

جدول (۱۱-۴) چگالی نهائی نمونه‌های حاوی مواد افزودنی مختلف که در دمایا و زمانهای مختلف تف جوشی شده‌اند	۱۲۴
جدول (۱۲-۴) متوسط اندازه ذرات نمونه‌های هگزافریت باریم ناهمسانگرد حاوی مواد افزودنی مختلف که در دمای 115°C و زمانهای مختلف تف جوشی شده‌اند	۱۳۲
جدول (۱۳-۴) خواص مغناطیسی نمونه‌های هگزافریت باریم ناهمسانگرد حاوی مواد افزودنی مختلف که در دمای 1200°C به مدت یک ساعت تف جوشی شده‌اند	۱۳۷
جدول (۱۴-۴) مقادیر نسبت شکل ذرات هگزافریت باریم حاوی مواد افزودنی مختلف که در دمای 1300°C و زمانهای مختلف تف جوشی شده‌اند	۱۳۹
جدول (۱۵-۴) متوسط اندازه ذرات هگزافریت باریم ناهمسانگرد حاوی مواد افزودنی مختلف که در دمای 1250°C و زمانهای مختلف تف جوشی شده‌اند	۱۴۰

فهرست شکلها

صفحه	عنوان
۲	شکل (۱-۱) پیشرفت مواد مغناطیسی در قرن بیستم
۹	شکل (۱-۲) حلقه پسماند مواد مغناطیسی
۱۳	شکل (۲-۲) تغییر ساختار حوزه‌ها در اثر اعمال میدان مغناطیسی
۱۴	شکل (۳-۲) ارتباط نیروی و ادارنده‌گی مغناطیسی و اندازه ذرات
۱۷	شکل (۴-۲) گشتاورهای مغناطیسی اتمی در چهار نوع از مواد مغناطیسی
۲۰	شکل (۵-۲) مغناطش اشباع و نیروی و ادارنده‌گی مغناطیسی انواع مواد مغناطیسی
۲۱	شکل (۶-۲) مقایسه حلقه پسماند مواد مغناطیسی نرم و سخت
۲۳	شکل (۷-۲) مقطع هم دمای دیاگرام سه تائی $\text{BaO}-\text{MeO}-\text{Fe}_2\text{O}_3$
۲۳	شکل (۸-۲) دیاگرام فاز دو تائی $\text{BaO}-\text{Fe}_2\text{O}_3$ در اتمسفر هوا
۲۵	شکل (۹-۲) سلول واحد هگزافریت باریم
۲۵	شکل (۱۰-۲) لایه‌های اتمی در ساختار هگزافریت
۲۶	شکل (۱۱-۲) مغناطش اشباع تک کریستال هگزافریت سرب بر حسب میدان اعمال شده در زوایای مختلف
۳۴	شکل (۱۲-۲) منحنی توزیع تجمعی اندازه ذرات هگزافریت باریم بر حسب زمان آسیا کردن
۳۵	شکل (۱۳-۲) تغییرات نیروی و ادارنده‌گی مغناطیسی پودر هگزافریت باریم بر حسب زمان آسیا کردن
۳۹	شکل (۱۴-۲) مراحل پرسکاری خشک تحت میدان مغناطیسی
۳۹	شکل (۱۵-۲) رابطه فشار پرس یکطرفه و چگالی خام نمونه‌های هگزافریت باریم
۴۰	شکل (۱۶-۲) توزیع فشار در پرس تک محوری
۴۰	شکل (۱۷-۲) رابطه بین خواص مغناطیسی و چگالی خام نمونه‌های هگزافریت باریم
۴۱	شکل (۱۸-۲) رابطه بین پسماند مغناطیسی هگزافریت باریم و درصد وزنی جداساز
۴۳	شکل (۱۹-۲) اثر درصد جامد بر پسماند مغناطیسی هگزافریت باریم ناهمسانگرد

صفحة	عنوان
٤٥.....	شكل (٢٠-٢) مراحل تف جوشی در حضور فاز مذاب
٤٩	شكل (٢١-٢) تأثير مقدار مذاب بر چگالی در مراحل تف مختلف جوشی در حضور فاز مذاب ..
٥٠	شكل (٢٢-٢) انقباض هگزافریت باریم به صورت تابعی از نسبت مولی و دمای تف جوشی
٥١	شكل (٢٣-٢) تغییرات خواص مغناطیسی هگزافریت استرانسیم بدون ماده افزودنی و نمونه حاوی نیم درصد وزنی SiO_2
٥١	شكل (٢٤-٢) دیاگرام سه تائی $\text{SrO}-\text{Fe}_2\text{O}_3(\text{Fe}_3\text{O}_4)-\text{SiO}_2$ در اتمسفر هوا
٥١	شكل (٢٥-٢) دیاگرام سه تائی $\text{BaO}-\text{Fe}_2\text{O}_3(\text{Fe}_3\text{O}_4)-\text{SiO}_2$ در اتمسفر هوا
٥٢	شكل (٢٦-٢) تأثیر دما و مقدار ماده افزودنی SiO_2 بر چگالی نهائی هگزافریت باریم
٥٣	شكل (٢٧-٢) تغییرات H_c هگزافریت استرانسیم بر حسب مقدار SiO_2 در زمانهای مختلف تف جوشی
٥٤	شكل (٢٨-٢) اثر Ba_2O_3 بر چگالی هگزافریت باریم - استرانسیم
٥٤	شكل (٢٩-٢) اثر Ba_2O_3 بر خواص مغناطیسی هگزافریت باریم - استرانسیم
٥٦	شكل (٣٠-٢) انقباض، نرخ انقباض، چگالی ظاهري، درصد تخلخلها و سختي هگزافریت باریم بر حسب دمای تف جوشی
٥٦	شكل (٣١-٢) تغییرات خواص مغناطیسی هگزافریت باریم با تغییر دمای تف جوشی
٥٦	شكل (٣٢-٢) تغییرات H_c هگزافریت باریم با دما و زمان تف جوشی
٥٧	شكل (٣٣-٢) خواص مغناطیسی هگزافریت باریم همسانگرد و ناهمسانگرد بر حسب چگالی نهائی
٥٨	شكل (٣٤-٢) ریزساختر هگزافریت باریم همسانگرد و ناهمسانگرد
٥٩	شكل (٣٥-٢) خواص مغناطیسی هگزافریت استرانسیم بر حسب زمان تف جوشی
٦٠	شكل (٣٦-٢) تغییرات چگالی و بیشترین انرژی تولیدی با تغییر نرخ گرم کردن
٦٠	شكل (٣٧-٢) تأثیر نرخ گرم کردن بر ریزساختر نمونه های هگزافریت باریم
٦٧	شكل (١-٣) آسیای گلوله ای خشک با محفظه و گلوله های کروی فولادی

صفحه	عنوان
۶۸.....	شکل (۲-۳) جارمیل تر با محفظه و گلوله‌های آلومینائی.....
۷۰.....	شکل (۳-۳) نمای کلی سنبه پائینی که حاوی نه عدد سوراخ با قطر تقریبی یک میلی متر می‌باشد.
۷۰.....	شکل (۴-۳) تصاویر سنبه بالائی، قالب و سنبه پائینی
۷۱.....	شکل (۵-۳) طرح فنی قالب
۷۰.....	شکل (۶-۳) طرح فنی سنبه پائینی
۷۲.....	شکل (۷-۳) سیستم اعمال میدان مغناطیسی
۷۴.....	شکل (۸-۳) تصویر پرس همراه با سیستم اعمال میدان مغناطیسی.....
۷۵.....	شکل (۹-۳) سیکل حرارت دادن نمونه‌های هگزافریت باریم حین تف جوشی
۷۹.....	شکل (۱-۴) الگوی پراش اشعه ایکس (XRD) نمونه هگزافریت باریم
۸۲.....	شکل (۲-۴) نمودار تغییرات متوسط اندازه ذرات بر حسب زمان آسیا کردن
۸۲.....	شکل (۳-۴) تصویر SEM پودر هگزافریت باریم که در دمای 1150°C به مدت سه ساعت کلسینه شده است
۸۴.....	شکل (۴-۴) تصاویر SEM پودرهای هگزافریت باریم که در آسیای گلوله‌ای خشک به مدت زمانهای مختلف آسیا شده‌اند
۸۵.....	شکل (۵-۴) تصاویر SEM پودرهای هگزافریت باریم که در آسیای افقی تربه مدت نه ساعت آسیا شده است
۸۶.....	شکل (۶-۴) تصویر SEM پودر هگزافریت باریم که در آسیای افقی تربه مدت نه ساعت آسیا شده است
۸۷.....	شکل (۷-۴) حلقه پسماند پودر هگزافریت باریم که به مدت نه ساعت آسیا شده است
۸۹.....	شکل (۸-۴) نمودار چگالی نهائی بر حسب فشار پرس
۹۱.....	شکل (۹-۴) نمودار چگالی نهائی بر حسب غلظت دوغاب
۹۳.....	شکل (۱۰-۴) ریزساختار نمونه‌های هگزافریت باریم با غلظتهای مختلف دوغاب
۹۸.....	شکل (۱۱-۴) تصویر SEM ریزساختار نمونه بدون ماده افزودنی که در دمای 1150°C به مدت دو ساعت تف جوشی شده است